

横浜国立大学大学院 学生会員 江田 徹  
 横浜国立大学工学部 正会員 植 龍哉  
 横浜国立大学工学部 正会員 池田 尚治

## 1. まえがき

コンクリート構造物において不規則な境界面に複雑な表面荷重を受ける場合、その厳密解を求めるこことは困難な場合が多い。一般にこのような構造物の解析をする場合には、有限要素法等による数値的解析法が有効である。本研究では、周期的温度変化を受ける任意形状の2次元的コンクリート構造物内の定常的な温度分布および応力分布を求めるために有限要素法による数値解析を行う。応力の発生状況については、コンクリートの粘弾性の影響も含めて、外部的拘束の有無による相違に着目して考察する。

## 2. 有限要素法による定式化

周期的温度変化を受ける場合の2次元的熱伝導に関する有限要素式を導く。周期的温度変化を受ける場合の熱伝導方程式は、定常状態の場合、式(1)で与えられる<sup>1)</sup> ( $K_{xx}, K_{yy} = \chi$ ,  $\chi$  = 方向における熱伝導率,  $T$  = 温度,  $K' = -\rho c w i$ ,  $\rho$  = 密度,  $c$  = 比熱,  $i = \sqrt{-1}$ ,  $w = 2\pi/T_p$ ,  $T_p$  = 温度変化の周期)。式(1)に対応する汎用式をIとすると式(2)のようになる ( $g$  = 热流束)。式(2)をマトリックスの形に書き直し、[I]に関して最小化することにより、有限要素式(3)が導かれる<sup>2)</sup> ([B] = 匀配マトリックス, [D] = 材料特性マトリックス, [N] = 内挿関数,  $N_k = [\alpha_k + b_{kx}x + c_{ky}] / 2A$ ,  $\alpha = i, j, k$  (三角形要素の節点番号),  $I_j$  = 節点温度,  $A$  = 三角形要素の面積)。要素剛性マトリックス[K]は、式(4)で与えられる。また、構造物の周囲表面において熱流束gによる熱の得失が存在する場合、[g]は、式(5a,b,c)で表わされる( $L_{ij}, L_{jk}, L_{ik}$  = 各節点間の距離)。一方応力に関する剛性方程式は、初期ひずみがある場合の、通常の三角形要素に関するものを使う。

$$K_{xx} \frac{\partial^2 T}{\partial x^2} + K_{yy} \frac{\partial^2 T}{\partial y^2} + K' \cdot T = 0 \quad (1)$$

$$I = \int_V \left[ \frac{K_{xx}}{2} \left( \frac{\partial T}{\partial x} \right)^2 + \frac{K_{yy}}{2} \left( \frac{\partial T}{\partial y} \right)^2 - \frac{K'}{2} \cdot T^2 \right] dV + \int_S g \cdot T ds \quad (2)$$

$$[K]\{I\} = \{g\}, [K] = \int_V [B]^T [D] [B] dV + \int_V K' [N]^T [N] dV \quad (3)$$

$$[K] = \frac{K_{xx}}{4A} \begin{bmatrix} b_{ii} & b_{ij} & b_{ik} \\ b_{ji} & b_{jj} & b_{jk} \\ b_{ki} & b_{kj} & b_{kk} \end{bmatrix} + \frac{K_{yy}}{4A} \begin{bmatrix} c_{ii} & c_{ij} & c_{ik} \\ c_{ji} & c_{jj} & c_{jk} \\ c_{ki} & c_{kj} & c_{kk} \end{bmatrix} + \frac{KA}{12} \begin{bmatrix} 2 & 1 & 1 \\ 1 & 2 & 1 \\ 1 & 1 & 2 \end{bmatrix} \quad (4)$$

$$\begin{aligned} \{g\} &= \int_S g [N] ds = \begin{cases} \frac{g L_{ij}}{2} \begin{pmatrix} 1 \\ 1 \\ 0 \end{pmatrix} \\ \frac{g L_{jk}}{2} \begin{pmatrix} 0 \\ 1 \\ 1 \end{pmatrix} \\ \frac{g L_{ik}}{2} \begin{pmatrix} 1 \\ 0 \\ 1 \end{pmatrix} \end{cases} & (5a, b, c) \end{aligned}$$

## 3. コンクリートの粘弾性の影響

長期間作用する外荷重に対してコンクリートは、粘弾性的性質を示す。ここでは、緩和弾性係数 $E_R(\tau, T)$ を用いることによりコンクリートの粘弾性を表わすことにする。また、緩和弾性係数 $E_R$ を用ることにより、複素弾性係数 $\bar{E}$ が求まる。緩和弾性係数とそれに伴う複素弾性係数は、コンクリートのエイジングを考慮に入れると一般的に次のように表わされる。<sup>3), 4), 5)</sup>

$$E_R(\tau, T) = \sum_{j=1}^m E_j(\tau) \cdot e^{-(\tau-\tau_j)/\tau_j} + E_\infty, \quad \bar{E} = \sum_{j=1}^m \frac{E_j \cdot i\omega}{i\omega + \frac{1}{\tau_j}} + E_\infty \quad (6a, b)$$

( $\tau$  = 温度変化作用後の経過時間,  $\tau_j$  = 温度変化が与えられた時の材令,  $\tau_j$  = 緩和時間)。

温度と応力の変化が定常的である場合を仮定するとコンクリートの粘弾性の影響を考慮するためには、コンクリ

一トの弾性係数を複素弾性係数で置換すればよい。

#### 4. 数値計算例

図-1(a)のコンクリート構造物についてその断面内の温度分布を有限要素法により解析し、厳密解と比較した。図-2(a)は、コンクリート構造物の断面の要素分割図である。厳密解と比較した結果は、図-2(b)に示した( $R_L = L \sqrt{W/2Kd}$ ,  $Kd$ =熱伝導率)。温度の境界条件としては、はりの上面では三角関数で与えられる周期的温度変化を、また上面以外の全ての面では、断熱状態を考えた。次に図-1(b)に示されている各点で発生したX方向の応力を粘弹性を考慮した場合について外部的拘束の有無による分布の相違を図-3に示した( $L=0.5\text{m}$ ,  $L'=4\text{m}$ ,  $R_L=2$ )。はりの外部的拘束条件としては、2つの条件を考えた。条件①では、下面の水平方向の拘束がなくX方向に自由に変位できる状態にある。条件②では、下面をX, Y両方向に拘束した。材料定数は、 $K=0.792\text{ (Kcal/m.h.c)}$ ,  $Kd=0.0015\text{ (m}^2/\text{h)}$ ,  $\alpha_0=1.1 \times 10^{-5}$ ,  $T=1000\text{ (days)}$ ,  $T_0=1\text{ (}^\circ\text{C)}$ である( $K$ =コンクリートの熱伝導率,  $\alpha_0$ =熱膨張率)。粘弹性を考慮するにあたって式(6)に含まれる定数は、参考文献5)のRoss Damに関する数値を用いた。図-1のコンクリート構造物は、单一のコンクリートからなるものとし、粘弹性を考慮するため、弾性係数を複素弾性係数に置換して解析をした。

図-2(b)において有限要素解と厳密解を比較すると比較的小ない要素数でも厳密解とよい一致を示すことが判明した。また温度勾配が大きい場合も要素数を増やすことで厳密解に近づくことがわかった。

#### 5. あとがき

本研究で用いた解析法は、任意の複合断面コンクリート部材について、任意の境界条件のもとで適用可能である。本研究では、定常状態のみを扱ったが非定常状態に対して考慮することも必要と思われる。

#### [参考文献]

- 1) Carslaw, H.S. 他 "Conduction of Heat in Solids," 2nd, Clarendon Press, Oxford, 1959.
- 2) 川井忠彦, 他: 応用有限要素解析, 丸善, 1978.
- 3) 棚 龍哉: 「不規則な温度変化を受けるコンクリートスラブの応力変化」, 土木学会 第36回年次学術講演会講演概要集, 第5部。
- 4) 棚, 山本, 沢田: 「多層断面コンクリート曲げ部材の温度応力解析」, 土木学会 第37回年次学術講演会講演概要集, 第5部。
- 5) Bazant, Z.P. and Wu, S.T., "Rate-Type Creep-Law of Aging Concrete Based on Maxwell Chain," Materials and Structures, Vol.7, No.37, 1974, pp. 45-60.

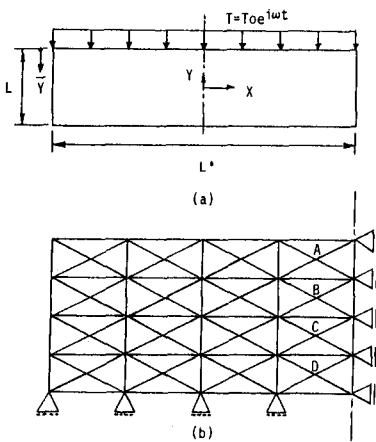


図-1 境界条件と要素分割

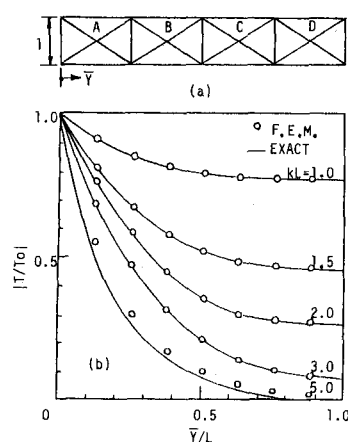


図-2 温度分布

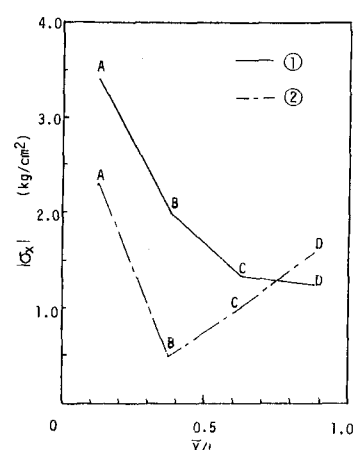


図-3 応力分布